

Isospectralité et polygones

15 avril 2021

- ▶ Associer à un polygone P une suite croissante $\text{spec}(P) = (\lambda_k)_{k \geq 0}$ et s'intéresser au problème inverse : *la donnée de $\text{spec}(P)$ détermine-t-elle P ?*
- ▶ Construire des polygones isospectraux (qui ont le même spectre) en utilisant un peu de théorie des groupes.
- ▶ Inversement, trouver des caractéristiques géométriques de P déterminées par $\text{spec}(P)$.

Le problème spectral

$$(\mathcal{S}_\lambda) \left\{ \begin{array}{lll} (\text{s})_\lambda & \Delta u = \lambda u, & \Delta = -\partial_x^2 - \partial_y^2. \\ (\text{bc}) & u|_{\partial P} = 0, & \text{cond. bord Dirichlet.} \\ (\text{Eb}) & \int_P |u|^2 + |\nabla u|^2 < \infty. \end{array} \right.$$

L'ensemble des u solutions de (\mathcal{S}_λ) est un espace vectoriel, on note m_λ sa dimension : c'est la multiplicité de λ .

L'ensemble des λ tels que $m_\lambda > 0$ forme une suite croissante qui tend vers $+\infty$: c'est le spectre de P (avec multiplicité)

$$\text{spec}(P) = \{\lambda_0 < \lambda_1 \leq \lambda_2 \leq \lambda_3 \leq \dots\}$$

Question de régularité

L'équation $(s)_\lambda \quad \Delta u = \lambda u$ peut être remplacée par la formulation variationnelle suivante :

$$(w)_\lambda \quad \forall \varphi \in C_0^\infty(P), \quad \int_P \nabla u \nabla \varphi = \lambda \int_P u \varphi.$$

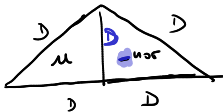
Lemme

Soit $u \in H^1(P)$ solution de $(w)_\lambda$ alors u est en fait $C^\infty(\mathring{P})$ et toutes ses dérivées partielles se prolongent de façon continue à $\bar{P} \setminus \Sigma$ où Σ est l'ensemble des sommets du polygone.

- ▶ Le lemme précédent donne un sens à la condition au bord.
- ▶ Autres conditions au bord Neumann ($\partial_\nu u|_{\partial P} = 0$), Dirichlet-Neumann.
- ▶ La condition (Eb) est nécessaire à cause des coins.

Spectre et symétries

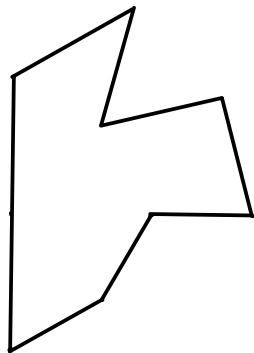
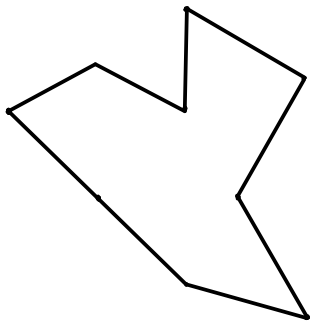
- ▶ Deux polygones isométriques (directement ou indirectement) ont même spectre.
- ▶ *Peut-on entendre la forme d'un tambour ?* Existe-t-il des polygones isospectraux non-isométriques ?



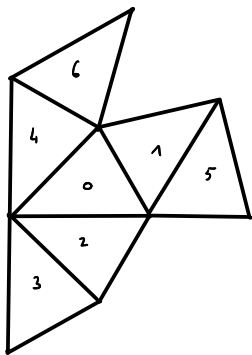
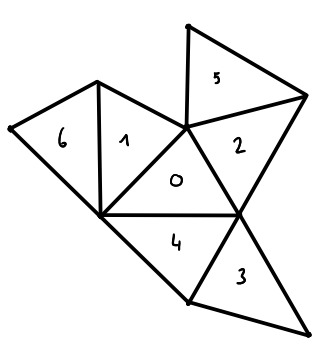
$$S_P \left(\begin{array}{c} D \\ \vdots \\ D \end{array} \right) = S_P \left(\begin{array}{c} D \\ D \\ \hline D \end{array} \right) + S_P \left(\begin{array}{c} D \\ \hline D \end{array} \right)$$

La réponse est non !

Ces deux polygones ont le même spectre.



Découpages et Transplantations.



$$u \longmapsto \vec{u} = \begin{pmatrix} u_0 \\ u_1 \\ \vdots \\ u_6 \end{pmatrix} \longmapsto \begin{pmatrix} v_0 \\ v_1 \\ \vdots \\ v_6 \end{pmatrix} = T\vec{u} \longmapsto v.$$

Recollement de fonctions propres

Lemme

Soient deux triangles T_1 et T_2 recollés le long du côté c . Soit v_i dans T_i qui vérifient $(s)_\lambda$. La fonction v ainsi définie dans $T_1 \cup T_2$ vérifie $(s)_\lambda$ si et seulement si :

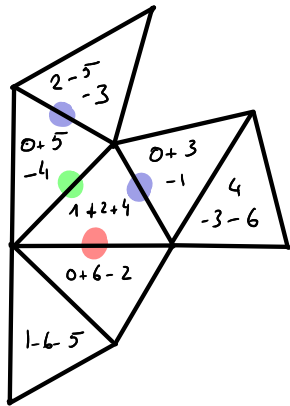
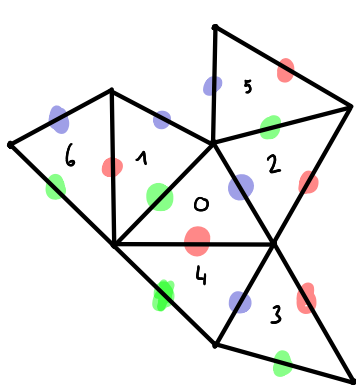
$$u_{1|c} = u_{2|c},$$
$$\partial_{\nu_1} u_{1|c} = -\partial_{\nu_2} u_{2|c}.$$

(La fonction u et ses dérivées partielles sont continues au passage de c .)

C'est une conséquence de la formule de Green.

Il s'agit donc de trouver une transplantation T telle que $T\vec{u}$ vérifie ces conditions de recollement.

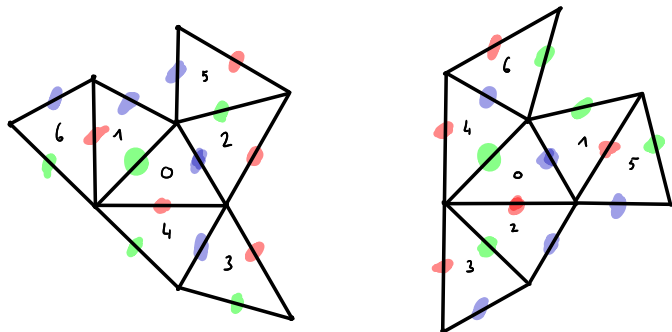
Une transplantation



On vérifie par inspection que les conditions de recollement sont satisfaites (Attention aux symétries).

Pourquoi ça marche ? 1/2

Les deux polygones sont construits à l'aide d'une brique élémentaire (ici un triangle) et un schéma de recollement. Ce schéma peut être encodé dans 3 permutations.



	P	\tilde{P}
a	$(0\ 1)(2\ 5)$	$(0\ 4)(2\ 3)$
b	$(0\ 2)(4\ 3)$	$(0\ 1)(4\ 6)$
c	$(0\ 4)(1\ 6)$	$(0\ 2)(1\ 5)$

Pourquoi ça marche ? 2/2

$$a = (01)(25)$$

$$b = (02)(43)$$

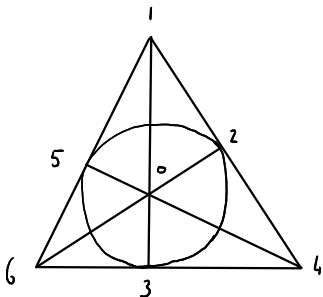
$$c = (04)(16)$$

$$\tilde{a} = (04)(23)$$

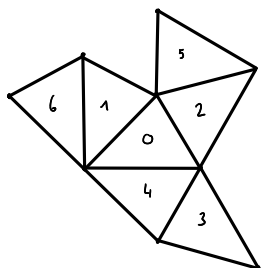
$$\tilde{b} = (01)(46)$$

$$\tilde{c} = (02)(15)$$

On peut interpréter a, b , et c comme des automorphismes du plan de Fano et T comme la matrice d'incidence ; \tilde{a}, \tilde{b} et \tilde{c} sont alors les automorphismes duals.



Résumé



$$a = (01)(25)$$

$$b = (02)(34)$$

$$c = (04)(12)$$

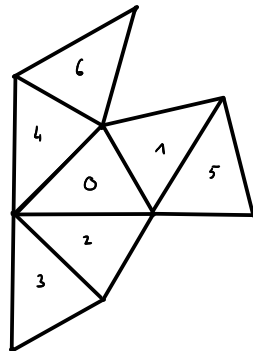
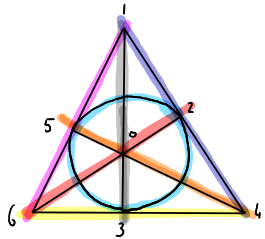
points

$$\tilde{a} = (04)(23)$$

$$\tilde{b} = (01)(46)$$

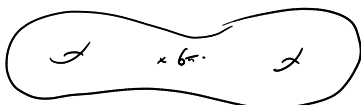
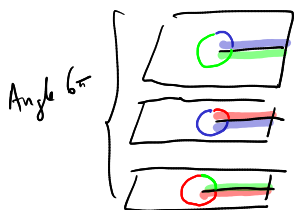
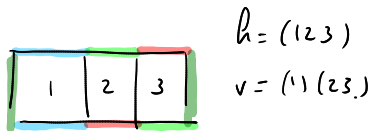
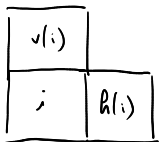
$$\tilde{c} = (02)(15)$$

droites.



Généralisations

On peut changer de brique élémentaire, et de combinatoire.



Surface à petits carreaux. Peut-on mieux comprendre les transplantations ?

Théorème

Soit M_0 une variété riemannienne et M un revêtement normal de M_0 associé au groupe G . Si H_1 et H_2 sont deux sous-groupes de G vérifiant la condition

$$\forall g \in G, \quad \text{card } [g] \cap H_1 = \text{card } [g] \cap H_2,$$

alors les variétés $M_1 = M/H_1$ et $M_2 = M/H_2$ sont isospectrales.

- ▶ Il reste à vérifier que M_1 et M_2 ne sont pas isométriques.
- ▶ Généralisation de Gordon-Webb-Wolpert aux orbifolds.

- ▶ On associe un spectre à chaque représentation de G .
- ▶ Deux représentations isomorphes ont le même spectre. L'entrelacement donne la transplantation.
- ▶ Les surfaces de translations sont associées à des représentations par matrices de permutations dites *régulières* et *quasi-régulières*. La condition de Sunada entraîne que les deux représentations quasi-régulières associées à H_1 et H_2 sont isomorphes.

Un exemple

$$h = (123) \quad v = (1) \quad (23) \quad G = S_3$$

et représentation triviale, et signature, et représentation de \mathbb{Z}_2 .

$$\square T_1$$

$$S_p(T_1) = S_p(\Delta_r)$$

$$T_1 \begin{array}{|c|} \hline 1 \\ \hline \end{array}$$

$$\begin{array}{|c|c|c|} \hline 1 & 2 & 3 \\ \hline \end{array} \quad M_3$$

$$S_p(T_2) = S_p(\Delta_r) + S_p(\Delta_c)$$

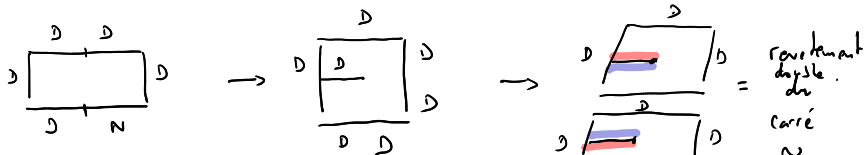
$$S_p(M_3) = S_p(\Delta_r) + S_p(\Delta_c)$$

$$\begin{array}{|c|c|} \hline 4 & 5 \\ \hline \end{array} \quad \begin{array}{|c|c|c|} \hline 1 & 2 & 3 \\ \hline \end{array} \quad M_6$$

$$S_p(M_6) = S_p(\Delta_r) + S_p(\Delta_c) + 2 S_p(\Delta_p) \quad (\text{représentation régulière})$$

$$S_p(M_6) + 2 S_p(T_1) = 2 S_p(M_3) + S_p(T_2)$$

Le retour des symétries



$$\sim C_2 = \begin{array}{c} \text{Diagram of a rectangle with width D and height N, rotated 90 degrees clockwise.} \\ \text{Diagram of a rectangle with width N and height D, rotated 90 degrees clockwise.} \end{array} \quad S_p(\sim C_2) = S_p\left(\begin{array}{c} \text{Diagram of a rectangle with width D and height N, rotated 90 degrees clockwise.} \\ \text{Diagram of a rectangle with width N and height D, rotated 90 degrees clockwise.} \end{array}\right) + S_p\left(\begin{array}{c} \text{Diagram of a rectangle with width D and height N, rotated 90 degrees clockwise.} \\ \text{Diagram of a rectangle with width N and height D, rotated 90 degrees clockwise.} \end{array}\right) + 2 S_p\left(\begin{array}{c} \text{Diagram of a rectangle with width D and height N, rotated 90 degrees clockwise.} \\ \text{Diagram of a rectangle with width N and height D, rotated 90 degrees clockwise.} \end{array}\right)$$

$$\sim C_2 = \begin{array}{c} \text{Diagram of a rectangle with width D and height N, rotated 90 degrees clockwise.} \\ \text{Diagram of a rectangle with width N and height D, rotated 90 degrees clockwise.} \end{array} \quad S_p(\sim C_2) = S_p\left(\begin{array}{c} \text{Diagram of a rectangle with width D and height N, rotated 90 degrees clockwise.} \\ \text{Diagram of a rectangle with width N and height D, rotated 90 degrees clockwise.} \end{array}\right) + S_p\left(\begin{array}{c} \text{Diagram of a rectangle with width D and height N, rotated 90 degrees clockwise.} \\ \text{Diagram of a rectangle with width N and height D, rotated 90 degrees clockwise.} \end{array}\right) + 2 S_p\left(\begin{array}{c} \text{Diagram of a rectangle with width D and height N, rotated 90 degrees clockwise.} \\ \text{Diagram of a rectangle with width N and height D, rotated 90 degrees clockwise.} \end{array}\right)$$

Conclusion provisoire

- ▶ Il est possible de construire des polygones isospectraux avec des méthodes algébriques.
- ▶ La question de l'isospectralité reste posée en restreignant la classe des domaines étudiés : peut-on entendre un polygone convexe ?
- ▶ Il faut alors chercher des caractéristiques géométriques déterminées par le spectre.

Théorème - Durso / Grieser-Maronna

Les triangles euclidiens sont spectralement déterminés.

- ▶ *T. Sunada*, Riemannian coverings and isospectral manifolds. Ann. Math. (2) 121, 169–186 (1985)
- ▶ *C. Gordon, D. Webb, S. Wolpert*, Isospectral plane domains and surfaces via Riemannian orbifolds. Invent. Math. 110, No. 1, 1-22 (1992).
- ▶ *P. Bérard*, Transplantation et Isospectralité, Math. Ann. 292, No. 3, 547–560 (1992)
- ▶ *P. Buser, J. Conway, P. Doyle, K.-D. Semmler*, Some planar isospectral domains, Int. Math. Res. Not. 1994, No. 9, 391–400 (1994)
- ▶ *O. Giraud*, Finite geometries and diffractive orbits in isospectral billiards. J. Phys. A, Math. Gen. 38, No. 27, L447–L483 (2005)
- ▶ *D. Grieser, S. Maronna*, Hearing the shape of a triangle. Notices Am. Math. Soc. 60, No. 11, 1440–1447 (2013)